

## 一、惠更斯-菲涅耳原理：

惠更斯原理：任一时刻波面上的点都可以作为次波的波源，各自发出球面次波。在以后的任一时刻，包围波面的包络面形成新的波前。

在惠更斯原理中忽略向后传播的波，否则将命名为退波。

菲涅耳对惠更斯原理进行了补充，并假设：次波和原波干涉，形成了惠更斯-菲涅耳原理：

 波面  $S$  上每小面积元  $ds$  都可以看成是新的波源。它们均发出球面次波。波面  $S$  向空间某一点  $P$  的振动而要看成是  $S$  表面上所有面积元发出的次波在空间引起振动的振幅之和。而点  $ds$  处的振动  $dU(p) = \frac{A(\theta)}{r} e^{i\omega t} k(\theta) ds$

其中  $A(\theta)$  为波面  $S$  上该区域的振幅分布， $k(\theta)$  为倾斜因子，并且假定  $k(\theta)$  在  $\theta=0$  处取得最大值，并随着  $\theta$  增大迅速减小。其衰减因子反映了次波随距离引起的振动的幅度向前进传播成为下降振幅的现象。总的合振幅为  $U(p) = \int \frac{A(\theta)}{r} e^{i\omega t} k(\theta) ds$

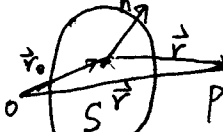
惠更斯-菲涅耳原理的数学推导是：<sup>(H-F)</sup> 以上的振动是由各次波在空间所发出的各个次波的叠加。但 H-F 原理没有严格的数学基础。惠更斯给出了 H-F 原理中的叠加思想奠定了比较完善的数学基础，并指出 H-F 原理是在近场  $r \rightarrow$  入射波远场。

## 二、基尔霍夫定理

考虑标量波的运动方程： $\nabla^2 \phi - \frac{1}{c^2} \frac{\partial^2 \phi}{\partial t^2} = -g(r, t)$

其中  $\phi$  是标量波的振幅， $c$  是传播速度， $g(r, t)$  为源。假设波源集中在体积  $V$  内， $S$  是  $V$  的包围曲面。利用基尔霍夫处理运动方程的方法，分解在  $V$  外任意点  $P$  处的振幅

$$\phi(r_i, t) = \frac{1}{4\pi} \iint \left\{ -\frac{1}{r} [g] + [g] \frac{\partial}{\partial r} \left[ \frac{1}{r} \right] - \frac{1}{r^2} \frac{\partial g}{\partial r} \right\} ds \quad (1)$$

 [表示推迟值，即  $(t-\tau)$  时刻的函数。 $[g]$  是  $S$  表面上的振幅。 $|r| = \sqrt{r_i^2 + r^2}$ ] 这里  $S$  表面上源的传播方向。这样  $V$  内各点处的贡献则可用表面上的源分布来表示。(1)式右边第一项反映了一个波源分布的贡献，波源的强度为单值函数，( $-g$ )；大括号中第二项联合起来代表了一个幅相分布的贡献，幅相子的强度为单值函数，指向垂直于  $S$  面。

在基尔霍夫和高维中，空间位置上的振动与传播是两种类型的资源。在 P 中引起振动的叠加，这样 H-F 波场中衍生的振动与传播是简单的衍射与传播的叠加还是高斯不成立。如果把包围源的圆周 S 看成是波前的话，那么上的叠加振动与传播是什么呢？

如果在面上每一点，选择三个相互垂直的坐标轴子分（法线方向）， $\hat{n}_1, \hat{n}_2, \hat{n}_3$  并且满足

$$\frac{\partial \phi}{\partial n_1} \geq \frac{\partial \phi}{\partial n_2}, \frac{\partial \phi}{\partial n_3}, \quad (\text{偏轴条件})$$

则此时的圆周 S 上的传播是一个波前，并且三维振动方程可以化简为一维的情况  $\partial^2 \phi / \partial t^2 = c^2 \partial^2 \phi / \partial r^2$  对于单色波， $\phi \sim e^{i(wt - kr)}$ ，于是  $\frac{\partial \phi}{\partial t} = -ik\phi$ ,  $\frac{\partial \phi}{\partial r} = iw\phi$ ,  $\frac{\partial^2 \phi}{\partial r^2} = -k^2\phi$ ,  $c^2$  分为  $r^2$  的乘积，则基尔霍夫高维中的传播函数表示为：

$$W(r) = \frac{1}{r} [\frac{\partial \phi}{\partial r} + \{R[\frac{\partial \phi}{\partial n}(r)] - \frac{1}{r} \frac{\partial \phi}{\partial r}[n_r]\}] = \frac{i w k}{4 \pi r} \{ik(wt - kr) + \frac{1}{r}\} \quad (1)$$

为了理解(1)式所代表的物理意义，我们来考虑一个沿 z 方向的 spatio-temporal dipole  $z(t) = a \begin{cases} \frac{d}{2} & \text{在 } z \text{ 处有一个强度为 } a \text{ 的点源, 在 } -\frac{d}{2} \text{ 处放置一个强度为 } -a \text{ 的点源, 并且距离差值 } d = \frac{1}{2}c \\ -\frac{d}{2} & \text{波时间, 即从第一个点源传播到第二个点源的时间}. \text{ 相当放置的偶极子称为 } spatio-temporal \text{ 偶极子. 我们考虑同样的偶极子在空间上 P 引起的振动:} \end{cases}$

$$W(r) = \frac{a}{4 \pi r_1} \exp[i(wt - kr_1)] - \frac{a}{4 \pi r_2} \exp[i(wt - kr_2)] \quad \text{ad} = c \frac{d}{2} \text{ 且 } r_1 = r_2 + \frac{d}{2}, \text{ 将 } r_1 \text{ 用 } d \text{ 的表达式代入, 则 } r_1 = r_2 + \frac{d^2 k}{2 \pi n}, \text{ 且 } d \gg \sqrt{w} \text{ 时,}$$

将  $r_2$  用  $r_1$  代替，最终为

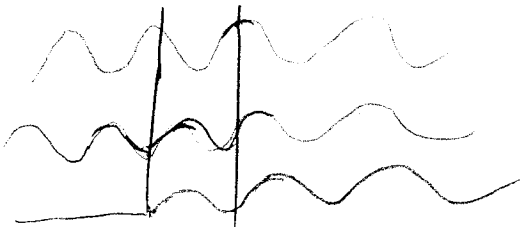
$$W(r) = \frac{ad}{4 \pi r_1} \exp[i(wt - kr_1)] \{ik(wt - kr_1) + \frac{1}{r_1}\} \quad (3), \text{ 如果 } ad \exp[i(wt - kr_1)] = 0$$

则(3)与(1)式完全相同。即当圆周的圆心曲面不是波前时，上面的有关基尔霍夫 P 引起的振动与(2)式完全相同。即当圆周的圆心曲面是波前时，上面的有关基尔霍夫 P 引起的振动与(3)式完全相同。即当圆周的圆心曲面是波前时，上面的有关基尔霍夫 P 引起的振动与(3)式完全相同。即当圆周的圆心曲面是波前时，上面的有关基尔霍夫 P 引起的振动与(3)式完全相同。即当圆周的圆心曲面是波前时，上面的有关基尔霍夫 P 引起的振动与(3)式完全相同。即当圆周的圆心曲面是波前时，上面的有关基尔霍夫 P 引起的振动与(3)式完全相同。即当圆周的圆心曲面是波前时，上面的有关基尔霍夫 P 引起的振动与(3)式完全相同。即当圆周的圆心曲面是波前时，上面的有关基尔霍夫 P 引起的振动与(3)式完全相同。

结论：H-F后程中的波前上的每一点都可等效为简单波源（生源）的思想本来是基尔霍夫理论在远场  $r \gg d$  时的近似，但是将包围圆源的圆周面上看作是波前时，圆周上任一点的振动幅与该点波前上的振幅成  $\frac{1}{r}$ 。spatiotemporal dipole，在观测到红振动能量加的且想在远场和近场， $r \gg d$  和  $r \ll d$  处均成立。同样对于后程的思想在近场中也成立了。

将基尔霍夫理论中的两种类型的振动用一种光场来代替后，波的传播问题变成怎样？是不是向前进播的呢？

考虑 spatiotemporal dipole 中的生源产生平面波的情况。spatiotemporal dipole 所辐射是由两个等幅反相移位的生源组成，其中一个生源落后于另一个生源  $\frac{\lambda}{c}$  的时间。当  $d \gg 0$  时，将会变为精确的 spatiotemporal dipole。每个生源都产生向左和向右传播的平面波，但向左传播的波相互抵消，最终只产生向右传播的波，即产生向前传播的波，如图所示：



### 三、被物质散射后的近场

我们现在来关心 H-F 后程中的倾斜因子。倾斜因子反映了波前上的初级波源在空间一直引起振动的权重。 $\theta = 0$  时， $K(\theta)$  最大，即向前进播的生源贡献最大，因此倾斜因子的后半部分反映了波前向前进播的性质。我们把倾斜因子是否能用来作为检验 H-F 后程中向前进播的思想是否成立。

在上面的讨论中，将 Krichhoff 和 Kirchhoff 表面上的局域源等效为 spatiotemporal dipole 中，~~而~~ 在对四维的依赖  $(x, t)$  所示，因此反映了波前向前进播的性质。其实，波前向前进播的性质不必通过上面的方法得到，只要操作得当时直接即可。

如果一个平面波在  $z=0$  处的振动情况已知， $\Phi(x, y, 0)$  为，根据作图时接续干涉前波

$$\Phi(k_x, k_y, 0) = \frac{1}{(2\pi)^2} \iint dx' dy' \Phi(x', y', 0) \exp[-i(k_x x' + k_y y')]$$

从  $z=0$  到  $z$ ，前波的值为

$$\tilde{\Phi}(k_x, k_y, z) = \Phi(k_x, k_y, 0) \exp[i z \sqrt{k_x^2 + k_y^2}] \quad k = \frac{2\pi}{\lambda}$$

传递时接续干涉在  $(x, y, z)$  处的振动情况

$$\Phi(x, y, z) = \iint \Phi(k_x, k_y, z) \exp[i(k_x x + k_y y)] dk_x dk_y$$

$$= \frac{1}{(2\pi)^2} \iint dx' dy' \Phi(x', y', 0) \iint dk_x dk_y \exp\{i[k_x(x-x') + k_y(y-y') + \sqrt{k_x^2 + k_y^2}z]\}$$

$$= \frac{1}{(2\pi)^2} \iint dx' dy' \Phi(x', y', 0) \left[ \exp\left(\frac{i k r}{r^2}\right) e^{i k r + i z} \right]$$

可知，空间中任意  $(x', y', z)$  的振动由传播成是波前  $(x', y', 0)$  平面上的有源激励在  $(x, y, z)$  引起振动的叠加，并且  $R=0$  处的有源激励对产生贡献最大，因此对于金属而说，倾斜因子的反向而前传播速度，当时对于的尺寸没有限制，因此在  $R \ll \lambda$  的近场中仍是成立的。

在上面的近场中，只是光源附近没有物质的情况。但在实际情况下，往往存在有物质存在，即被物质散射场附近的光场性质。若考虑位于坐标系的一个小物体，入射场为  $E_0$ ，在该物体上引起极化强度

$$P(t) = \int E_0 \exp(-i\omega t) \quad (\text{只考虑线性极化情况}), \quad \omega \text{ 是入射场的角频率.}$$

现在研究被物体散射后  $A(R)$  处的振动情况。A 处的振动情况应由薛定克斯方程得到。引入椭球函数  $\vec{\Pi}_e$ ，(椭球函数与经典中的关系， $\vec{\Pi} = -\nabla \cdot \vec{\Pi}_e$ )。于得  $A$  处的椭球函数

$$\vec{\Pi}_{d(t, R)} = \frac{[P(t, R)]}{R}$$

对椭球函数的表达式：

$$\vec{\Pi}(R) = \frac{1}{(2\pi)^3} \int d\vec{k}^3 \vec{\Pi}(\vec{k}) \exp(-i\vec{k} \cdot \vec{R}) \quad (R \ll \lambda)$$

需要注意的是， $A$  处的光场实际上是由物体（磁矩）散射后产生的，而散射场应包含两种类型的波，均匀波（ $k$  波矢为实数）和倏逝波（ $k$  波矢为复数）。对  $\vec{\Pi}(R)$  的表达式来说，于得

$$\vec{\Pi}(\vec{R}) = \frac{1}{(2\pi)^2} \vec{E}_0 / d\vec{k}^3 \exp(i\vec{k} \cdot \vec{R}) \lim_{R \rightarrow 0} \left( \frac{1}{k - k_{-2}} - \frac{1}{k + k_{+2}} \right) \quad (14)$$

$k = \frac{2\pi}{\lambda}$ . 在近场条件下， $R \gg \lambda$ ，对 (14) 式为仍可得到倾斜因子，即 H-F 方程中向量场的性质在散射场的远场中仍成立。现在将 (14) 式积掉角参数，在对角参数取积分时，在一个最大值  $\Omega_{max}$ ，数值依赖于  $R$  的大小。当  $R > \Omega_{max}$  时，积分归零。这样在对角参数积分的过程中， $R < \Omega_{max}$  时，积分的系数为零；

$$\begin{aligned}\pi(\vec{r}) = & \frac{d}{2\pi ikr} E(0) \left[ 2\pi ik \exp(-ikr) + \int_0^\infty du u \exp(-ru) \left( \frac{1}{2ik} - \frac{1}{2irk} \right) \right. \\ & \left. - \int_0^\infty du u \exp(ru \cos \theta_{\max}) \left( \frac{1}{2ik} - \frac{1}{2irk} \right) \right] \quad (15)\end{aligned}$$

当  $r \gg 10$  时,  $\theta_{\max} = \pi$ , 上式中最后一项代表了传播方向与观测方向成  $\pi$  角度的成分对观测值的贡献. 因为  $\exp(ru \cos \theta_{\max}) \rightarrow \exp(-ru) \rightarrow 0$ , 即向后传播的成分对观测值的贡献没有贡献, 反映了逆传播向量传播的性质.

在近场,  $r \ll 1$  处, 声场的性质主要由上述中的后两项决定, 即非辐射波决定了近场的性质 (5 式中的后两项中会掉下  $\frac{1}{r}$  的因子, 因此后两项决定了近场的性质). 由于近场有倾斜因子的存在, 就反映不出向后传播的成分对观测值贡献的大小, 也即向各个方向传播的成分对观测值的贡献相同. 不能得到波前向声传播的结论, 因此对于声波中向后传播的声波在被物反射后的近场中不成立.